

Aktuelle Funde von Uferfliegen aus dem Saarland mit der Beschreibung einer neuen *Philygria* STENHAMMAR (Diptera: Ephydriidae)

Jens-Hermann Stuke

Kurzfassung: Aktuelle Funde von 59 Uferfliegenarten (Diptera, Ephydriidae) werden für das Saarland (Deutschland) gemeldet. *Philygria macrocercus* **spec. nov.** wird aus dem Saarland beschrieben. *Parydra minor* (ROBINEAU-DESVOIDY, 1830) wird als valide Art gewertet (**status rev.**) und erstmals aus Deutschland gemeldet.

Schlüsselwörter: Diptera, Ephydriidae, *Philygria*, *Parydra*, Deutschland, Saarland, Faunistik, Taxonomie, status rev., spec. nov.

Abstract: Recent records of Shoreflies from the Saarland with the description of a new *Philygria* STENHAMMAR (Diptera: Ephydriidae). Recent records of 59 species of shore flies (Diptera, Ephydriidae) are reported for the Saarland (Germany). *Philygria macrocercus* **spec. nov.** is described from the Saarland. *Parydra minor* (ROBINEAU-DESVOIDY, 1830) is recognized as valid species (**status rev.**) and reported from Germany for the first time.

Keywords: Diptera, Ephydriidae, *Philygria*, *Parydra*, Germany, Saarland, faunistics, taxonomy, status rev., spec. nov.

Résumé: Découvertes actuelles de mouches de rivage en Sarre avec la description d'une nouvelle *Philygria* STENHAMMAR (Diptera: Ephydriidae). Des découvertes récentes de 59 espèces de mouches des rivages (Diptera, Ephydriidae) sont rapportées pour la Sarre (Allemagne). *Philygria macrocercus* **spec. nov.** est décrite de la Sarre. *Parydra minor* (ROBINEAU-DESVOIDY, 1830) est considérée comme une espèce valide (**status rev.**) et signalée pour la première fois en Allemagne.

Mots clés: Diptera, Ephydriidae, *Philygria*, *Parydra*, Allemagne, Sarre, Faunistique, Taxinomie, status rev., spec. nov.

Einleitung

Uferfliegen (Ephydriidae) gehören zu den acalypraten Zweiflüglern (Diptera) und stellen mit etwa 2000 bekannten Arten eine der artenreicheren Familien der Zweiflügler. Bislang sind etwa 190 Arten aus Deutschland nachgewiesen. Uferfliegen umfassen meist kleine Dipteren von weniger als 5 mm Größe, die allerdings an geeigneten Stellen in großen Mengen vorkommen können. Die meisten Uferfliegen leben in Feuchtgebieten und ernähren sich dort vor allem von Algen, zersetzendem organischem Material oder minierend in Pflanzen. Konkrete Informationen zur Lebensweise der Uferfliegen – sowohl der Imagines als auch der Larven – sind bislang nur von wenigen Arten bekannt. Auch die Kenntnis zur Verbreitung der Uferfliegen in Deutschland ist erst in einem frühen Erforschungsstadium.

Zu den Uferfliegen des Saarlandes liegen nur sehr wenige publizierte Daten vor, die ausschließlich auf Material beruhen, das von dem Dipterologen Oswald Duda (1869-1941) in oder um St. Wendel gesammelt wurde und aktuell in der Dipteren Sammlung des Museums für Naturkunde der Humboldt-Universität Berlin verwahrt wird. Belegt sind für Ephydriden die Sammeldaten 19.iii.1916, 11.vi.1920, 27.vi.1920, 12.vii.1921 und 19.vi.1928. DUDA (1942) selbst beschrieb aus dem Saarland *Ditrichophora strandi* (DUDA, 1942), *Philygria strandi* (DUDA, 1942) (nomina dubium), *Parydra obscuripennis* (DUDA, 1942) (= *Parydra mitis* [CRESSON, 1930]) und *Parydra strandi* (DUDA, 1942) (= *Parydra quinque maculata* BECKER, 1896). Darüber hinaus melden ZATWARNICKI & MATHIS (2007) *Discomyza incurva* (FALLÉN, 1823) und ZATWARNICKI (1987) *Scatophila noctula* (MEIGEN, 1830) sowie *Scatophila unicornis* CZERNY, 1900.

Während des Treffens des Arbeitskreises Diptera (AK DIPTERA) in Landsweiler-Reden vom 17.06.–19.06.2022 wurde die Gelegenheit genutzt, gezielt nach Uferfliegen zu suchen, um eine möglichst umfassende Artenliste für das Bundesland zu erstellen. Da die erzielten Ergebnisse für die Uferfliegen wesentlich umfangreicher sind als die auf den eigentlichen Tagungsexkursionen des Arbeitskreistreffens im Saarland erzielten, und da einige Arten ausführlicher dargestellt werden müssen, werden die Funde in dieser Arbeit separat behandelt.

Material und Methoden

Das hier präsentierte Material wurde überwiegend vom Autor und außerdem von Michael von Tschirnhaus und Ruud van der Weele gesammelt und befindet sich in der Sammlung des Autors und in der Sammlung des Zentrums für Biodokumentation (Saarland, Schiffweiler). Das Material von van der Weel und von Tschirnhaus wird in Alkohol aufbewahrt. Vom Autor wurden vom 17.-19.vi.2022 siebzehn Standorte im Saarland aufgesucht (Karte s. Abb. 1).

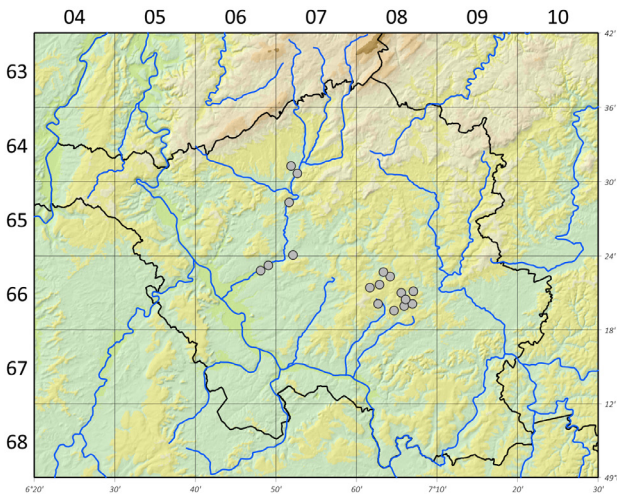


Abbildung 1: Lage der Exkursionsgebiete im Saarland. 1: Noswendeler See ; 2: Prims, Bardenbach; 3: Prims nördlich Schattertriesch; 4: Theel w Knorscheid; 5: Teiche n Bilsdorf; 6: Teiche ö Nalbach; 7: Kurpark Illingen; 8: Ill ö Illingen; 9: Merchtal s Illingen; 10: Absinkweiher Hahnwiese sw Illtal; 11: Kohlbachtalweiher s Göttelborn; 12: Heiligenwald, Itzenplitzer Weiher; 13: Wassergarten Grube Reden; 14: Höferbachtal n Friedrichsthal; 15: Berghalde Landsweiler-Reden; 16: Friedrichsthal, Villingen Park; 17: Friedrichsthal, Saufangweiher.

Die mit dem Käsker gefangenen Fliegen wurden vor Ort mit Ether abgetötet, unter dem Binokular aussortiert und genadelt. Dabei entspricht die Auswahl der präparierten Tiere nicht der Anzahl oder dem Geschlechterverhältnis der tatsächlich gekäscherten Tiere, da Ephyriden aus schwer zu bestimmenden Gattungen oder die genital oft leichter zu bestimmenden Männchen vorrangig präpariert wurden. Es wurde versucht, für jeden Fundort alle gefundenen Arten mit zumindest einem Beleg zu dokumentieren. Die Nomenklatur basiert auf MATHIS & ZATWARNICKI (1995) sowie der in Tabelle 1 aufgeführten Bestimmungsliteratur. Die Terminologie zur Beschreibung der neuen Art entspricht weitgehend CUMMING & WOOD (2017) sowie den gattungsspezifischen Interpretationen von EDMISTON & MATHIS (2005). Zur Untersuchung der männlichen Terminalia wurde das gesamte Abdomen abgetrennt und für etwa vier Stunden in Natronlauge $\text{NaOH}_{(\text{aq})}$ mazeriert, mit Essigsäure $\text{CH}_3\text{-COOH}$ neutralisiert und anschließend in einem mit Glycerin $\text{C}_3\text{H}_5(\text{OH})_3$ gefüllten Microvial am Tier aufbewahrt. Bei der Beschreibung der männlichen Terminalia wird der Begriff „Dorsalansicht“ für den Blick auf das Epandrium mit den Cerci nach oben orientiert benutzt. Die Anzahl der Borsten bezieht sich immer nur auf eine Körperhälfte.

Tabelle 1: Übersicht über die je Gattung verwandte Bestimmungsliteratur.

<i>Allotrichoma</i>	STUKE (2022c)
<i>Athyroglossa</i>	STUKE (2021b)
<i>Diasemocera</i>	ZATWARNICKI (2018)
<i>Dichaeta</i>	DRAKE (2001)
<i>Diclasioipa</i>	STUKE (2010a)
<i>Discocerina</i>	ZATWARNICKI & MATHIS (2001)
<i>Ditrichophora</i>	STUKE (2010a, 2013), ZATWARNICKI (2022)
<i>Gymnoclasioipa</i>	STUKE (2010a), ZATWARNICKI (2022)
<i>Hyadina</i>	STUKE (2010a, 2020), MATHIS & ZATWARNICKI (2004), ZATWARNICKI (2022)
<i>Hydrellia</i>	COLLIN (1966), STUKE (2010a), ZATWARNICKI (2022)
<i>Ilythea</i>	CRESSON (1943)
<i>Nostima</i>	GAVRUSHIN & KRIVOSHEINA (2010)
<i>Notiphila</i>	KRIVOSHEINA (1998), DRAKE (2001)
<i>Ochthera</i>	IRWIN (1985)
<i>Paracoenia</i>	MATHIS (1975)
<i>Parydra</i>	KRIVOSHEINA (1989), STUKE (2010b)
<i>Pelina</i>	KRIVOSHEINA (1992)
<i>Philygria</i>	HOLLMANN-SCHIRRMACHER (1998), STUKE (2021a)
<i>Polytrichophora</i>	STUKE (2021c)
<i>Psilopa</i>	STUKE (2010b), ZATWARNICKI (2018)
<i>Scatella</i>	OLAFSSON (1991), ZATWARNICKI & IRWIN (2018)
<i>Scatophila</i>	ZATWARNICKI & MATHIS (1994), STUKE (2010b)

Ergebnisse

Während der insgesamt dreitägigen Exkursion konnten 732 Individuum gesammelt werden. Nicht bis zur Art bestimmt wurden einige Weibchen der Gattungen *Notiphila*, *Hydrellia*, *Philygria* und *Allotrichoma*. Das übrige Material konnte 59 Arten zugeordnet werden, Wie in der Einleitung dargestellt, sind fünf zusätzliche valide Arten bereits zuvor publiziert worden: *Parydra mitis*, *Parydra quinquemaculata*, *Discomyza incurva*, *Scatophila noctula* und *Scatophila unicornis*. Insgesamt sind damit aktuell 64 Uferfliegenarten aus dem Saarland bekannt.

Allotrichoma laterale (LOEW, 1860)

4♂♂, 18.vi.2022, Absinkweiher Hahnwiese sw Illtal [49,356°N 7,027°E]; 3♂♂, 18.vi.2022, Kohlbachtalweiher s Göttelborn [49,334°N 7,044°E]; 1♂, 18.vi.2022, Merchtal s Illingen [49,360°N 7,047°E]; 1♂, 19.vi.2022, Prims, Bardenbach [49,510°N 6,877°E]; 5♂♂, 19.vi.2022, Teiche n Bilsdorf [49,386°N 6,817°E]; 5♂♂, 18.vi.2022, Wassergarten Grube Reden [49,351°N 7,117°E], auf trockenem Boden gestreift, leg. M. von Tschirnhaus; 2♂♂, 18.vi.2022, Wassergarten Grube Reden [49,351°N 7,117°E].

Athyroglossa glabra (MEIGEN, 1830)

3 Exemplare, 17.vi.2022, Friedrichsthal, Saufangweiher [49,325°N 7,077°E]; 2 Exemplare, 17.vi.2022, Friedrichsthal, Villinger Park [49,331°N 7,098°E]; 2 Exemplare, 18.vi.2022, Heiligenwald, Itzenplitzer Weiher [49,349°N 7,092°E]; 1 Exemplar, 18.vi.2022, Höferbachtal n Friedrichsthal [49,340°N 7,101°E]; 1 Exemplar, 18.vi.2022, Ill ö Illingen [49,371°N 7,069°E]; 1 Exemplar, 18.vi.2022, Kohlbachtalweiher s Göttelborn [49,334°N 7,044°E]; 2 Exemplare, 18.vi.2022, Kurpark Illingen [49,377°N 7,055°E]; 2 Exemplare, 18.vi.2022, Merchtal s Illingen [49,360°N 7,047°E]; 2 Exemplare, 19.vi.2022, Prims nō Schattertriesch [49,471°N 6,860°E]; 3 Exemplare, 19.vi.2022, Prims, Bardenbach [49,510°N 6,877°E]; 2 Exemplare, 19.vi.2022, Teiche ö Nalbach [49,379°N 6,801°E]; 1 Exemplar, 19.vi.2022, Theel w Knorscheid [49,400°N 6,868°E].

Athyroglossa ordinata BECKER, 1896

1 Exemplar, 19.vi.2022, Theel w Knorscheid [49,400°N 6,868°E].

Diasemocera glabricula (FALLÉN, 1813)

1♂, 19.vi.2022, Prims nō Schattertriesch [49,471°N 6,860°E]; 1♂, 19.vi.2022, Theel w Knorscheid [49,400°N 6,868°E]; 1♂, 18.vi.2022, Wassergarten Grube Reden [49,351°N 7,117°E].

Dichaeta caudata (FALLÉN, 1813)

1♂, 17.vi.2022, Friedrichsthal, Saufangweiher [49,325°N 7,077°E]; 1♀, 19.vi.2022, Teiche n Bilsdorf [49,386°N 6,817°E]; 1♂, 18.vi.2022, Wassergarten Grube Reden [49,351°N 7,117°E].

Diclasiopa lacteipennis (LOEW, 1862)

1♀, 18.vi.2022, Kohlbachtalweiher s Göttelborn [49,334°N 7,044°E].

Discocerina obscurella (FALLÉN, 1813)

1♂, 18.vi.2022, Absinkweiher Hahnwiese sw Illtal [49,356°N 7,027°E]; 2♂♂, 17.vi.2022, Friedrichsthal, Villinger Park [49,331°N 7,098°E]; 1♀, 18.vi.2022, Kurpark Illingen [49,377°N 7,055°E]; 1♂, 18.vi.2022, Merchtal s Illingen [49,360°N 7,047°E]; 2♂♂, 19.vi.2022, Prims, Bardenbach [49,510°N 6,877°E]; 3♂♂, 19.vi.2022, Teiche n Bilsdorf [49,386°N 6,817°E]; 1♀, 19.vi.2022, Teiche ö Nalbach [49,379°N 6,801°E]; 1♂, 18.vi.2022, Wassergarten Grube Reden [49,351°N 7,117°E].

***Ditrichophora amoena* (DUDA, 1942)**

7♂♂ 3♀♀, 18.vi.2022, Ill ö Illingen [49,371°N 7,069°E]; 3♂♂, 19.vi.2022, Teiche n Bilsdorf [49,386°N 6,817°E]; 2♂♂, 19.vi.2022, Teiche ö Nalbach [49,379°N 6,801°E].

***Ditrichophora calceata* (MEIGEN, 1830)**

2♂♂ 1♀, 18.vi.2022, Heiligenwald, Itzenplitzer Weiher [49,349°N 7,092°E]; 2♀♀, 18.vi.2022, Höferbachtal n Friedrichsthal [49,340°N 7,101°E]; 1♀, 18.vi.2022, Ill ö Illingen [49,371°N 7,069°E]; 9♂♂ 2♀♀, 18.vi.2022, Kohlbachtalweiher s Göttelborn [49,334°N 7,044°E]; 1♀, 18.vi.2022, Kurpark Illingen [49,377°N 7,055°E]; 4♂♂ 1♀, 19.vi.2022, Teiche ö Nalbach [49,379°N 6,801°E].

***Ditrichophora fuscella* (STENHAMMAR, 1844)**

1♂, 17.vi.2022, Friedrichsthal, Villinger Park [49,331°N 7,098°E]; 7♂♂ 5♀♀, 18.vi.2022, Höferbachtal n Friedrichsthal [49,340°N 7,101°E]; 6♂♂, 18.vi.2022, Ill ö Illingen [49,371°N 7,069°E]; 1♂, 18.vi.2022, Kurpark Illingen [49,377°N 7,055°E]; 6♂♂, 19.vi.2022, Prims nö Schattertriesch [49,471°N 6,860°E]; 9♂♂, 19.vi.2022, Prims, Bardenbach [49,510°N 6,877°E]; 1♂, 19.vi.2022, Teiche n Bilsdorf [49,386°N 6,817°E]; 1♂, 19.vi.2022, Teiche ö Nalbach [49,379°N 6,801°E]; 5♂♂, 19.vi.2022, Theel w Knorscheid [49,400°N 6,868°E].

***Ditrichophora moraviae* (BECKER, 1926)**

1♂, 19.vi.2022, Prims nö Schattertriesch [49,471°N 6,860°E].

Dies ist nach einem Fund aus Sachsen-Anhalt (STUKE 2011) erst der zweite Nachweis von *D. moraviae* aus Deutschland. *Ditrichophora moraviae* ist eine selten nachgewiesene Art, die aber in Zentraleuropa und Südwesteuropa verbreitet ist. Zur Biologie dieser Art ist nichts bekannt. Die Art lebt vermutlich an Gewässerrändern und konnte im Saarland in dem teilweise ausgetrockneten, walddesäumten Flussbett der Prims gekäschert werden.

***Ditrichophora olivacea* (BECKER, 1896)**

3♂♂, 18.vi.2022, Höferbachtal n Friedrichsthal [49,340°N 7,101°E].

***Ditrichophora palliditarsis* (BECKER, 1896)**

1♂, 18.vi.2022, Heiligenwald, Itzenplitzer Weiher [49,349°N 7,092°E]; 10♂♂, 18.vi.2022, Ill ö Illingen [49,371°N 7,069°E]; 6♂♂, 19.vi.2022, Prims nö Schattertriesch [49,471°N 6,860°E]; 1♂, 19.vi.2022, Teiche n Bilsdorf [49,386°N 6,817°E].

***Ditrichophora strandi* (DUDA, 1942)**

1♂, 18.vi.2022, Heiligenwald, Itzenplitzer Weiher [49,349°N 7,092°E]; 3♂♂, 18.vi.2022, Höferbachtal n Friedrichsthal [49,340°N 7,101°E]; 3♂♂, 18.vi.2022, Ill ö Illingen [49,371°N 7,069°E]; 4♂♂, 18.vi.2022, Kohlbachtalweiher s Göttelborn [49,334°N 7,044°E]; 3♂♂ 1♀, 19.vi.2022, Prims nö Schattertriesch [49,471°N 6,860°E]; 1♀, 19.vi.2022, Theel w Knorscheid [49,400°N 6,868°E].

***Gymnoclasioipa aulisioi* (CANZONERI, 1976)**

1♂, 19.vi.2022, Teiche n Bilsdorf [49,386°N 6,817°E]; 1♀, 19.vi.2022, Teiche ö Nalbach [49,379°N 6,801°E].

***Gymnoclasiopa pulchella* (MEIGEN, 1830)**

1♀, 18.vi.2022, Heiligenwald, Itzenplitzer Weiher [49,349°N 7,092°E]; 1♀, 18.vi.2022, Höferbachtal n Friedrichsthal [49,340°N 7,101°E]; 1♂ 1♀, 18.vi.2022, Kurpark Illingen [49,377°N 7,055°E]; 1♂, 19.vi.2022, Prims, Bardenbach [49,510°N 6,877°E]; 1♂, 19.vi.2022, Teiche n Bilsdorf [49,386°N 6,817°E]; 3♂♂, 19.vi.2022, Teiche ö Nalbach [49,379°N 6,801°E].

***Hyadina guttata* (FALLÉN, 1813)**

1♀, 17.vi.2022, Friedrichsthal, Villinger Park [49,331°N 7,098°E]; 1♂, 18.vi.2022, Merchtal s Illingen [49,360°N 7,047°E]; 1♂ 1♀, 19.vi.2022, Prims nö Schattertriesch [49,471°N 6,860°E]; 1♂, 18.vi.2022, Wassergarten Grube Reden [49,351°N 7,117°E], auf trockenem Boden gestreift, leg. M. von Tschirnhaus; 1♂, 18.vi.2022, Wassergarten Grube Reden [49,351°N 7,117°E].

***Hyadina humeralis* auct., nec BECKER, 1896**

1♀, 18.vi.2022, Absinkweiher Hahnwiese sw Illtal [49,356°N 7,027°E]; 1♀, 18.vi.2022, Merchtal s Illingen [49,360°N 7,047°E]; 1♂, 19.vi.2022, Teiche n Bilsdorf [49,386°N 6,817°E].

***Hyadina rufipes* (MEIGEN, 1830)**

1♂ 1♀, 19.vi.2022, Prims nö Schattertriesch [49,471°N 6,860°E]; 1♂, 19.vi.2022, Prims, Bardenbach [49,510°N 6,877°E]; 3♀♀, 19.vi.2022, Teiche n Bilsdorf [49,386°N 6,817°E].

***Hydrellia albiceps* (MEIGEN, 1824)**

3♂♂, 18.vi.2022, Absinkweiher Hahnwiese sw Illtal [49,356°N 7,027°E]; 2♂♂, 17.vi.2022, Friedrichsthal, Villinger Park [49,331°N 7,098°E]; 2♂♂, 18.vi.2022, Heiligenwald, Itzenplitzer Weiher [49,349°N 7,092°E]; 1♂, 18.vi.2022, Höferbachtal n Friedrichsthal [49,340°N 7,101°E]; 1♂, 18.vi.2022, Ill ö Illingen [49,371°N 7,069°E]; 1♂, 18.vi.2022, Kurpark Illingen [49,377°N 7,055°E]; 2♂♂, 19.vi.2022, Teiche n Bilsdorf [49,386°N 6,817°E]; 1♂, 19.vi.2022, Teiche ö Nalbach [49,379°N 6,801°E]; 1♂, 19.vi.2022, Theel w Knorscheid [49,400°N 6,868°E]; 2♂♂, 18.vi.2022, Wassergarten Grube Reden [49,351°N 7,117°E], an Wasservegetation gestreift, leg. M. von Tschirnhaus; 4♂♂, 18.vi.2022, Wassergarten Grube Reden [49,351°N 7,117°E], auf trockenem Boden gestreift, leg. M. von Tschirnhaus; 3♂♂, 18.vi.2022, Wassergarten Grube Reden [49,351°N 7,117°E].

***Hydrellia griseola* (FALLÉN, 1813)**

1♂, 18.vi.2022, Absinkweiher Hahnwiese sw Illtal [49,356°N 7,027°E]; 1♂, 17.vi.2022, Bergehalde Landsweiler-Reden [49,334°N 7,115°E]; 3♂♂, 17.vi.2022, Friedrichsthal, Saufangweiher [49,325°N 7,077°E]; 1♂, 17.vi.2022, Friedrichsthal, Villinger Park [49,331°N 7,098°E]; 1♂, 18.vi.2022, Wassergarten Grube Reden [49,351°N 7,117°E].

***Hydrellia ischiaca* LOEW, 1862**

1♂, 19.vi.2022, Teiche n Bilsdorf [49,386°N 6,817°E].

***Hydrellia maculiventris* BECKER, 1896**

1♂ 1♀, 19.vi.2022, Teiche n Bilsdorf [49,386°N 6,817°E].

Hydrellia maculiventris gehört zu den selten nachgewiesenen Arten der Gattung. Aus Deutschland ist die Art bislang nur aus Bayern (STUKE 2011) und aus Brandenburg (ZATWARNICKI 2022) bekannt gewesen. Darüber hinaus konnte die Art 2022 an zwei weitgehend trocken gefallen Marschgräben des niederländischen Tieflandes nachgewiesen werden: 1♂, 5.ix.2022, Niedersachsen, Wiesen n Swartwolder Kolk [53,224°N 7,338°E], leg. & coll. Stuke; 1♀, 11.ix.2022, dito; 1♀, 9.vii.2022, Niedersachsen,

Winterbahn ö Strückhausermoor [53,306°N 8,418°E], leg. & coll. Stuke. Wie andere Arten der Gattung *Hydrellia* wird auch *H. maculiventris* als Larve in aquatischen Pflanzen minieren. Die Futterpflanze ist allerdings bislang unbekannt geblieben. Am saarländischen Fundort von *H. maculiventris* wurden die meisten Uferfliegen an spärlich aber artenreich bewachsenen Ufern von kleinen Bächen oder Teichen gestreift.

***Hydrellia nigricans* (STENHAMMAR, 1844)**

1♂, 18.vi.2022, Absinkweiher Hahnwiese sw Illtal [49,356°N 7,027°E]; 6♂♂, 17.vi.2022, Friedrichsthal, Saufangweiher [49,325°N 7,077°E]; 4♂♂, 18.vi.2022, Merchtal s Illingen [49,360°N 7,047°E]; 3♂♂, 19.vi.2022, Teiche n Bilsdorf [49,386°N 6,817°E]; 1♂, 18.vi.2022, Wassergarten Grube Reden [49,351°N 7,117°E], auf trockenem Boden gestreift, leg. M. von Tschirnhau.

***Hydrellia obscura* (MEIGEN, 1830)**

2♂♂ 1♀, 17.vi.2022, Friedrichsthal, Saufangweiher [49,325°N 7,077°E]; 1♀, 17.vi.2022, Friedrichsthal, Villinger Park [49,331°N 7,098°E]; 1♀, 18.vi.2022, Kohlbachtalweiher s Götteborn [49,334°N 7,044°E]; 1♀, 18.vi.2022, Merchtal s Illingen [49,360°N 7,047°E]; 1♀, 19.vi.2022, Prims n ö Schattertriesch [49,471°N 6,860°E]; 2♂♂ 1♀, 19.vi.2022, Teiche n Bilsdorf [49,386°N 6,817°E]; 1♀, 19.vi.2022, Theel w Knorscheid [49,400°N 6,868°E].

***Hydrellia thoracica* HALIDAY, 1839**

2♂♂ 2♀♀, 18.vi.2022, Merchtal s Illingen [49,360°N 7,047°E]; 1♂, 19.vi.2022, Prims, Bardenbach [49,510°N 6,877°E]; 1♂ 1♀, 19.vi.2022, Theel w Knorscheid [49,400°N 6,868°E].

***Ilythea spilota* (CURTIS, 1832)**

1♀, 17.vi.2022, Friedrichsthal, Saufangweiher [49,325°N 7,077°E]; 1♀, 18.vi.2022, Heiligenwald, Izenplitzer Weiher [49,349°N 7,092°E]; 2♂♂, 18.vi.2022, Höferbachtal n Friedrichsthal [49,340°N 7,101°E].

***Nostima picta* (FALLÉN, 1813)**

1♂, 18.vi.2022, Merchtal s Illingen [49,360°N 7,047°E]; 1♂, 19.vi.2022, Prims, Bardenbach [49,510°N 6,877°E].

***Notiphila brunipes* (ROBINEAU-DESVOIDY, 1830)**

9♂♂ 7♀♀, 18.vi.2022, Wassergarten Grube Reden [49,351°N 7,117°E].

Innerhalb der Gattung *Notiphila* ist *N. brunipes* durch das silberfarbene Gesicht eine leicht identifizierbare Art. Die Lebensweise der Larven ist mehrfach dokumentiert: DE MEIJERE (1940) berichtet als erster von der Bindung von *N. brunipes* an *Nymphaea alba* L.. VELDE & BROCK (1980) stellen die Biologie der Art umfassend dar und nennen zusätzlich *Nymphaea candida* J.PRESL & C.PRESL, *Nuphar lutea* (L.) SM., *Nymphoides peltata* (S.G.GMEL.) KUNTZE, *Acorus calamus* L. und *Typha angustifolia* L. als mögliche Pflanzen, an denen sich die Larven entwickeln können. Um so erstaunlicher ist, dass von dieser Art erst wenige Nachweise aus Deutschland gemeldet wurden: KRIVOSHEINA (1998) berichtet von einem Beleg von 1903 aus Berlin, STUKE (2011) meldet jeweils einen Fundort aus Hessen, Sachsen-Anhalt und Niedersachsen. Adulte *N. brunipes* halten sich überwiegend auf Schwimmblättern von Seerosengewächsen auf (VELDE & BROCK 1980) und sind vermutlich deshalb nur schwer zu erfassen. Im Wassergarten der Grube Reden waren die Bedingungen hierzu ideal, da an den ausgedehnten Beständen von Seerosengewächsen leicht gesammelt werden konnte.

***Notiphila graecula* BECKER, 1926**

2♂♂, 17.vi.2022, Friedrichsthal, Villingener Park [49,331°N 7,098°E]; 2♂♂, 18.vi.2022, Merchtal s Illingen [49,360°N 7,047°E]; 5♂♂, 18.vi.2022, Wassergarten Grube Reden [49,351°N 7,117°E], leg. R. van der Weele.

***Notiphila guttiventris* STENHAMMAR, 1844**

2♂♂, 18.vi.2022, Wassergarten Grube Reden [49,351°N 7,117°E], an Wasservegetation gestreift, leg. M. von Tschirnhaus.

***Notiphila maculata* STENHAMMAR, 1844**

1♀, 18.vi.2022, Absinkweiher Hahnwiese sw Illtal [49,356°N 7,027°E]; 2♂♂, 18.vi.2022, Kohlbachtalweiher s Götteleborn [49,334°N 7,044°E]; 3♂♂, 18.vi.2022, Merchtal s Illingen [49,360°N 7,047°E]; 3♂♂, 19.vi.2022, Teiche n Bilsdorf [49,386°N 6,817°E].

***Notiphila nigricornis* STENHAMMAR, 1844**

1♂, 18.vi.2022, Merchtal s Illingen [49,360°N 7,047°E].

***Notiphila nubila* DAHL, 1973**

1♂, 18.vi.2022, Absinkweiher Hahnwiese sw Illtal [49,356°N 7,027°E]; 1♂, 18.vi.2022, Heiligenwald, Itzenplitzer Weiher [49,349°N 7,092°E]; 5♂♂, 18.vi.2022, Wassergarten Grube Reden [49,351°N 7,117°E], auf trockenem Boden gestreift, leg. M. von Tschirnhaus; 17♂♂, 18.vi.2022, Wassergarten Grube Reden [49,351°N 7,117°E].

***Notiphila riparia* MEIGEN, 1830**

4♂♂, 17.vi.2022, Friedrichsthal, Saufangweiher [49,325°N 7,077°E]; 1♂, 18.vi.2022, Höferbachtal n Friedrichsthal [49,340°N 7,101°E]; 2♂♂, 19.vi.2022, Teiche n Bilsdorf [49,386°N 6,817°E]; 1♂, 19.vi.2022, Teiche ö Nalbach [49,379°N 6,801°E]; 2♂♂, 18.vi.2022, Wassergarten Grube Reden [49,351°N 7,117°E], auf trockenem Boden gestreift, leg. M. von Tschirnhaus; 6♂♂, 18.vi.2022, Wassergarten Grube Reden [49,351°N 7,117°E].

***Notiphila venusta* LOEW, 1856**

1♂, 18.vi.2022, Wassergarten Grube Reden [49,351°N 7,117°E], an Wasservegetation gestreift, leg. M. von Tschirnhaus; 1♂, 18.vi.2022, Wassergarten Grube Reden [49,351°N 7,117°E], auf trockenem Boden gestreift, leg. M. von Tschirnhaus.

***Paracoenia fumosa* (STENHAMMAR, 1844)**

1♀, 19.vi.2022, Prims nō Schattertriesch [49,471°N 6,860°E]; 2♂♂, 18.vi.2022, Wassergarten Grube Reden [49,351°N 7,117°E].

***Parydra aquila* (FALLÉN, 1813)**

1♂ 2♀♀, 18.vi.2022, Merchtal s Illingen [49,360°N 7,047°E]; 1♂, 19.vi.2022, Prims, Bardenbach [49,510°N 6,877°E]; 1♂, 18.vi.2022, Wassergarten Grube Reden [49,351°N 7,117°E].

***Parydra coarctata* (FALLÉN, 1813)**

1♂, 18.vi.2022, Absinkweiher Hahnwiese sw Illtal [49,356°N 7,027°E]; 2♂♂, 17.vi.2022, Friedrichsthal, Saufangweiher [49,325°N 7,077°E]; 1♂ 1♀, 17.vi.2022, Friedrichsthal, Villingener Park [49,331°N 7,098°E]; 1♂, 18.vi.2022, Heiligenwald, Itzenplitzer Weiher [49,349°N 7,092°E]; 3♂♂, 18.vi.2022, Höferbachtal n Friedrichsthal [49,340°N 7,101°E]; 1♂, 19.vi.2022, Prims nō Schattertriesch [49,471°N

6,860°E]; 4♂♂, 19.vi.2022, Teiche n Bilsdorf [49,386°N 6,817°E]; 1♂, 19.vi.2022, Teiche ö Nalbach [49,379°N 6,801°E]; 1♂, 19.vi.2022, Theel w Knorscheid [49,400°N 6,868°E]; 1♀, 18.vi.2022, Wassergarten Grube Reden [49,351°N 7,117°E], leg. R. van der Weele.

***Parydra fossarum* (HALIDAY, 1833)**

1♂, 19.vi.2022, Prims nö Schattertriesch [49,471°N 6,860°E]; 2♂♂, 19.vi.2022, Teiche n Bilsdorf [49,386°N 6,817°E]; 1♂, 19.vi.2022, Theel w Knorscheid [49,400°N 6,868°E].

***Parydra hecate* (HALIDAY, 1833)**

1♀, 18.vi.2022, Merchtal s Illingen [49,360°N 7,047°E].

***Parydra littoralis* (MEIGEN, 1830)**

2♂♂ 1♀, 18.vi.2022, Höferbachtal n Friedrichsthal [49,340°N 7,101°E]; 1♂, 19.vi.2022, Prims nö Schattertriesch [49,471°N 6,860°E].

***Parydra minor* (ROBINEAU-DESVOIDY, 1830)**

1♂, 19.vi.2022, Teiche n Bilsdorf [49,386°N 6,817°E].

Parydra minor ist eine bislang nicht gedeutete Art, deren Bestimmung und Taxonomie daher hier ausführlicher dargestellt werden muss. Die Art ist durch die Kombination folgender Merkmale zu erkennen: (i) Gesicht in Seitenprofil gerade, deutlich schwächer bestäubt als Stirn, mit nur einer deutlichen Gesichtsborste; (ii) Gena deutlich schmaler als Höhe des Postpedicellus; (iii) Ocellenborste und Frontoorbitalborsten kräftig; (iv) Ocellendreieck weniger bestäubt als angrenzende Stirn; (v) mindestens 2 deutliche Dorsozentralborsten; (vi) vordere Notopleuralborste ausgebildet; (vii) Scutellum ohne warzenartige Ausstülpungen; (viii) Scutum kurz behaart, ohne auffällig weiße Bestäubung am Ende der Querfurche; (ix) Spitze der Media m und des Radius r_{2+3} nicht dunkel gesäumt, Flügelzeichnung unauffällig, Flügeladern nicht auffällig geschwungen, keine Aderanhänge ausgebildet; (x) Köpfcchen der Haltere hellbraun bis weißlich; (xi) Beine bis auf mehr oder weniger orangefelbe Tarsen und gelegentlich die Knie schwarz; (xii) Behaarung der Vordercoxe weiß bis bräunlich; (xiii) ♂ Mitteltibie ohne kammartige Borstenreihe; (xiv) Phallus apikal ohne dorsale Einkerbung, ventral mit deutlichem Kiel. Mit dieser Merkmalskombination kann *P. minor* nur mit *P. fossarum* verwechselt werden. Die Unterscheidung der beiden Arten, die bislang nicht getrennt wurden, ist in Tabelle 2 dargestellt und wird in den Abbildungen 2-11 illustriert.

Parydra minor wurde bisher nie als eigenständige Art akzeptiert, und der Name wurde seit der Originalbeschreibung durch ROBINEAU-DESVOIDY (1830) nicht mehr verwandt. Diese Originalbeschreibung enthält nur eine dürftige Charakterisierung, nach der die Art kaum zu erkennen ist (CLAUSEN & COOK 1971). Das Typenmaterial von *P. minor* sollte in der Sammlung des Muséum National d'Histoire Naturelle, Paris verwahrt sein (MATHIS & ZATWARNICKI 1995), wurde von dort allerdings nie erwähnt und ist vermutlich verschollen (CLAUSEN & COOK 1971). HALIDAY (1839) listet *P. minor* als Synonym der von ihm beschriebenen *P. fossarum* auf. Unglücklicherweise ignoriert HALIDAY (1839), dass *P. minor* das ältere Synonym ist und daher Priorität hat. Spätere Autoren übernehmen die aus heutiger Sicht falsche taxonomische Entscheidung Halidays (z. B. BECKER 1905, 1926, KRIVOSHEINA 1989, MATHIS & ZATWARNICKI 1995), ohne die Situation, die den Nomenklaturregeln widerspricht, zu erläutern oder eine Eingabe an die nomenklatorische Kommission einzureichen. Zwei Probleme werden gelöst, wenn jetzt der Name *P. minor* für das zuvor charakterisierte Taxon gewählt wird: Der Name *P. fossarum* muss nicht geändert werden, und für das bislang übersehene Taxon steht ein Name zur Verfügung. In der Originalbeschreibung von *P. minor* wird kein Merkmal erwähnt, das der hier vorgeschlagenen Interpretation widerspricht. Das in der Originalbeschreibung genannte Merkmal „tarsis subpallidis“ passt tatsächlich besser zu dem hier *P. minor* genannten Taxon als zu *P. fossarum*. Für *P. minor* ist kein locus typicus angegeben. Allerdings ist die Art vermutlich aus Frankreich beschrieben, von wo fast alles Material Robineau-Desvoidys stammt. *P. minor*

ist nach Belegen in der Sammlung des Autors in Europa weit verbreitet, nicht selten und kommt auch in Frankreich verbreitet vor (STUKE in Vorbereitung). Daher schlage ich vor, *Parydra minor* als valide Art aufzufassen (**status rev.**).

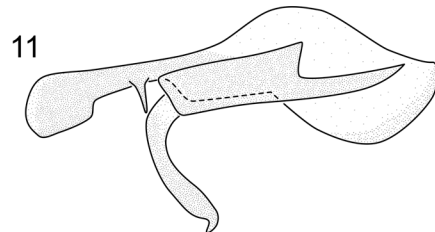
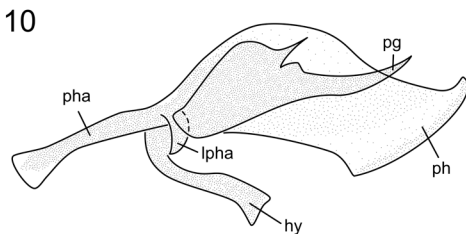
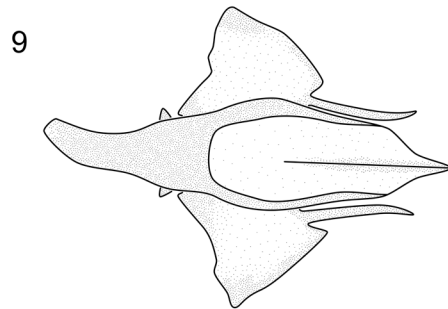
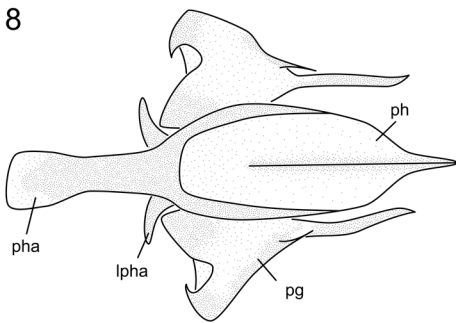
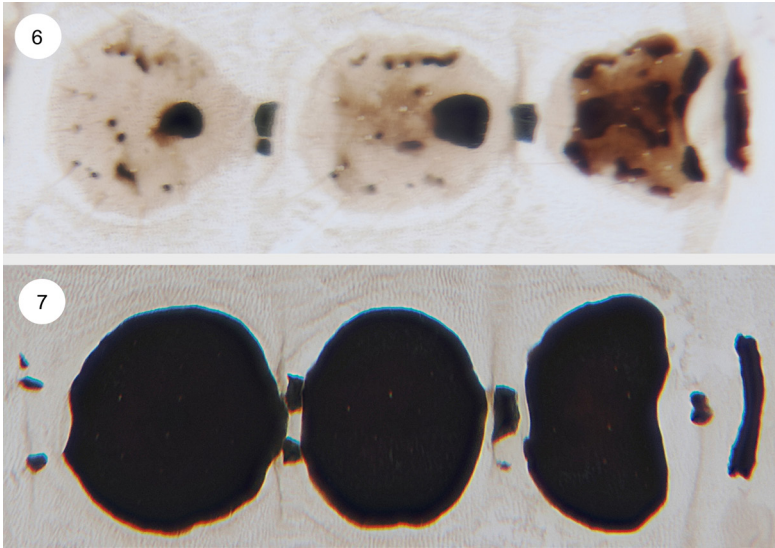
Die Deutung der sehr ähnlichen und von *P. minor* bisher nicht unterschiedenen *P. fossarum* ist in MATHIS & ZATWARNICKI (1990) dokumentiert. Dort wird ein Lectotypus für *P. fossarum* festgelegt und die Synonymie mit *Parydra parasocia* CLAUSEN & COOK, 1971 eingeführt. Die Genitalabbildung in CLAUSEN & COOK (1971: 132, Abbildung 100) von *P. parasocia* stellt tatsächlich eindeutig *P. fossarum* dar. Auch KRIVOSHEINA (1989: 217, Abbildung 4) stellt das Genital von *P. fossarum* dar, während BESCHOVSKI & ZATWARNICKI (2004: 34, Abbildung 4) unter *P. fossarum* das Genital von *P. minor* illustrieren.

Tabelle 2: Merkmale zur Unterscheidung von *Parydra fossarum* (HALIDAY, 1833) und *Parydra minor* (ROBINEAU-DESVOIDY, 1830).

<i>Parydra fossarum</i> (HALIDAY, 1833)	<i>Parydra minor</i> (ROBINEAU-DESVOIDY, 1830)
Vordertarsen typischerweise überwiegend schwarz, zumindest die beiden apikalen Tarsomere schwarz	Vordertarsen typischerweise bis auf das schwarze apikale Tarsomer orangebraun, das vorletzte Tarsomer kann sehr dunkel erscheinen, ist aber heller als das apikale Tarsomer
Vordercoxe typischerweise mit hellbraunen bis braunen Börstchen	Vordercoxe typischerweise mit weißen Börstchen
mazerierte Sternite (s. Methoden) hellbraun durch geringere Sklerotisierung und mit schwarzen Punkten durch lokal starke Sklerotisierung (Abbildung 6)	mazerierten Sternite einfarbig schwarz (Abbildung 7)
♂: Tergite 5 länger, etwa halb so lang wie Tergite 4 (Abbildung 2)	♂ Tergite 5 kürzer, weniger als halb so lang wie Tergite 4 (Abbildung 4)
♂: Phallusspitze schräg abgeschnitten, annähernd gerade, ventral mit charakteristischer Ecke (Abbildung 10)	♂: Phallusspitze abgerundet (Abbildung 11)
♂: Lateralstreben des Phallusapodem in Dorsalansicht lang (Abbildung 8)	♂: Lateralstreben des Phallusapodem in Dorsalansicht sehr kurz (Abbildung 9)
♂: Postgonite am Vorderrand mit zusätzlicher Spitze (Abbildung 8)	♂: Postgonite am Vorderrand ohne zusätzliche Spitze (Abbildung 9)
♀: Tergit 4 etwa so lang wie Tergit 2 (Abbildung 3)	♀: Tergit 4 deutlich länger als Tergit 2 (Abbildung 5)
♀: Tergit 5 etwa halb so lang wie Tergit 4, typischerweise mit hellbraunen Mikrotrichen (Abbildung 3)	♀: Tergit 5 weniger als halb so lang wie Tergit 4, typischerweise mit weißen Mikrotrichen (Abbildung 5)
♀: Tergit 6 in dorsaler Sicht oft deutlich sichtbar	♀: Tergit 6 in dorsaler Sicht meist nicht sichtbar



Abbildungen 2-5: Abdomen in Dorsalansicht von *Parydra fossarum* (HALIDAY, 1833) und *Parydra minor* (ROBINEAU-DESVOIDY, 1830). **2:** *P. fossarum* ♂; **3:** *P. fossarum* ♀; **4:** *P. minor* ♂; **5:** *P. minor* ♀.



Abbildungen 8-11: ♂ Terminalia von *Parydra fossarum* (HALIDAY, 1833) und *Parydra minor* (ROBINEAU-DESVOIDY, 1830). **8:** Phallus und Postgonite von *P. fossarum* in Dorsalansicht; **9:** Phallus und Postgonite von *P. minor* in Dorsalansicht; **10:** Phallus, Hypandrium und Postgonite von *P. fossarum* in Lateralansicht; **11:** Phallus Hypandrium und Postgonite von *P. minor* in Lateralansicht. hy - Hypandrium, pg - Postgonite, ph - phallus, pha - Phallusapodem.

***Parydra nubecula* BECKER, 1896**

1♀, 19.vi.2022, Prims nō Schattertriesch [49,471°N 6,860°E]; 1♂, 19.vi.2022, Teiche n Bildsorf [49,386°N 6,817°E].

***Parydra quadripunctata* (MEIGEN, 1830)**

1♂ 1♀, 18.vi.2022, Heiligenwald, Itzenplitzer Weiher [49,349°N 7,092°E]; 2♂♂ 2♀♀, 18.vi.2022, Höferbachtal n Friedrichsthal [49,340°N 7,101°E]; 2♂♂, 18.vi.2022, Ill ö Illingen [49,371°N 7,069°E]; 1♂, 18.vi.2022, Kohlbachtalweiher s Götteleborn [49,334°N 7,044°E]; 1♂ 1♀, 19.vi.2022, Prims nō Schattertriesch [49,471°N 6,860°E]; 2♂♂, 19.vi.2022, Teiche n Bildsorf [49,386°N 6,817°E].

***Pelina aenea* (FALLÉN, 1813)**

1♀, 18.vi.2022, Merchtal s Illingen [49,360°N 7,047°E].

***Philygria macrocercus* spec. nov.**

Holotypus: ♂ in glyceringefülltem Microvial mit folgender Etikettierung: (1) „Deutschland: Saarland, / Wassergarten Grube Reden / [49,351°N 7,117°E] / 18.06.2022, leg. R. van der / Weele“; (2) „Holotypus / *Philygria macrocercus* ♂ / Stuke des. 2022“. Das Abdomen des Typus wurde abgetrennt, drei Stunden in Natronlauge NaOH_(aq) mazeriert, mit Essigsäure CH₃-COOH neutralisiert und sezirt. Ein Flügel wurde abgetrennt. Ansonsten ist der Typus vollständig. Er wird in der Sammlung des Museum für Naturkunde - Leibniz Institut für Evolutions- und Biodiversitätsforschung, Berlin, Deutschland (MfN) verwahrt werden.

Abbildungen 12-17:
Holotypus von *Philygria macrocercus* spec. nov., ♂
Terminalia. **12:** Epandrium mit Cerci in Dorsalansicht; **13:** Epandrium mit Cerci in Lateralansicht; **14:** Postgonit und Hypandrium in Posterioransicht; **15:** Postgonite in Lateralansicht; **16:** Phallus in Lateralansicht; **17:** Sternite 4-5 in Ventralansicht.
aep - Anhang Epandrium, aph - dorsaler Apendix des Phallus, ce - Cercus, ep - Epandrium, hy - Hypandrium, pg - Postgonite, ph - phallus, pha - Phallusapodem, S5, S4 - Sternit 4 und 5.

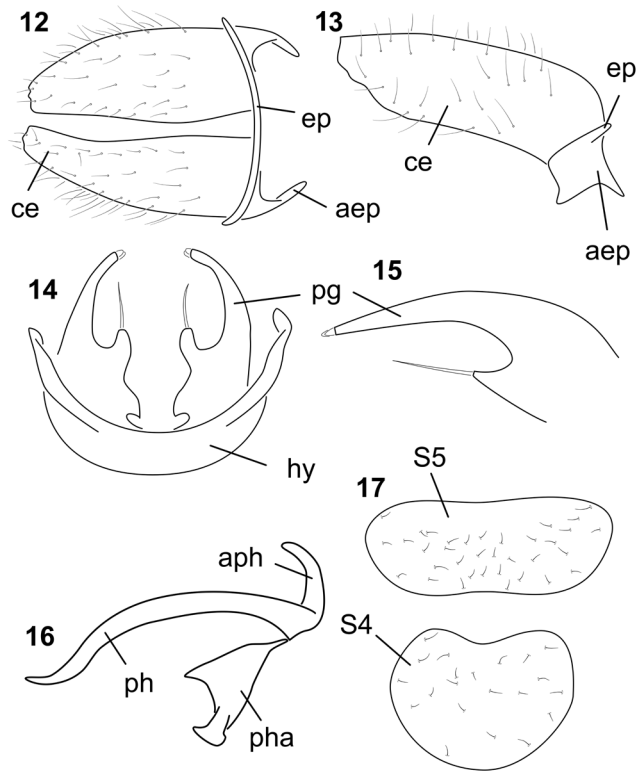




Abbildung 18: Holotypus von *Philygria macrocercus* spec. nov., Flügel in Dorsalansicht.

Beschreibung Holotypus (♂)

Länge \approx 2,6 mm. Flügellänge = 2,1 mm. Kopfhöhe 0,5 mm.

Kopf schwarz. Gena-Augen-Verhältnis (in Seitenansicht Höhe der Gena bei maximaler Augenhöhe : maximale Augenhöhe) = 0,3. Scapus und Pedicel dunkelbraun, basales Flagellomer in unterer Hälfte gelb. Basales Flagellomer stark bestäubt, basal mit schmalen, runden Sacculus ventral an der Außenseite. Arista braun, pubescent. Aristahärchen etwa so lang wie maximaler Durchmesser der Arista. Augen braun, alle Ommatiden etwa gleich groß, mit vereinzelt, kaum sichtbaren Ommatriden. Maximale Augenhöhe : maximale Augenlänge (laterale Ansicht) = 1,1. Ocellen bilden ein gleichschenkliges Dreieck. Stirn deutlich bestäubt. Frontaldreieck groß, bis zur Ptilinalnaht reichend. Gesicht deutlich hervorspringend, zentral dicht golden und lateral dicht silbern bestäubt. Gena und Occiput dicht grau bis silbern bestäubt. Palpus orangebraun. Proboscis unauffällig. Ocellenborsten groß, nach vorne gebogen und divergierend. Keine Postocellarborste nachgewiesen, 1 äußere und 1 innere Vertikalborste von gleicher Größe, keine Paravertikalborste, einige winzige Postocularborsten, 3-4 winzige und schwer zu entdeckende Frontoorbitalborsten, 6 dominante, medial gerichtete Gesichtsborsten und lateral davon 5-6 deutlich kleinere Borsten, 2-3 winzige Genaborsten.

Thorax schwarz. Scutum mit einigen winzigen Börstchen vor der vordersten Dorsozentralborste. Scutum goldbraun bestäubt, in der vorderen Hälfte mit submedialen Streifen dunklerer Bestäubung. Anepisternum dorsal mit einzelnen Börstchen. Acrostichalborsten in einer Reihe; 1+2 kräftige Dorsozentralborsten; 2 Notopleuralborsten, die vordere deutlich kleiner als die hintere; 2 (abgebrochene) Postalarborsten; 1 apikale und 1 deutlich kleinere laterale Scutellarborste; 1 Katepisternalborste; 1 Borste am Hinterrand des Anepisternums. Flügel entsprechend Abbildung 18: Membran schwach bräunlich und weiß getönt. Queradern dm-cu und r-m dunkler braun umrandet. Weiße Bereiche (i) an der Flügelbasis zwischen R_{4+5} und CuA_1 , (ii) hinter dm-cu zwischen R_{4+5} und CuA_1 , (iii) auf dem Anallappen und (iv) in dm vor dm-cu. Adern hellbraun bis braun. Flügel vollständig mit Mikrotrichen besetzt. Regelmäßig angeordnete Borsten auf Costa enden deutlich vor R_{4+5} . Alula kurz, etwa 2,5-mal so breit wie lang. Alula mit Börstchen am Hinterrand, die etwas länger als die Alula sind. Costaindex I (gerade Strecke zwischen den Enden von R_1 und R_{2+3} [S2 C] : gerade Strecke zwischen den Enden von R_{2+3} und R_{4+5} [S3 C]) = 1,5. Costaindex II (gerade Strecke zwischen den Enden von R_{4+5} und R_{2+3} [S3 C] : gerade Strecke zwischen den Enden von Media und R_{4+5} [S4 C]) = 2,7. R_{4+5} -Aderverhältnis (gerade Strecke entlang R_{4+5} zwischen r-m and Aufspaltung von R_{4+5} und R_{2+3} [S1 R_{4+5}]) : Strecke apikal von r-m [S2 R_{4+5}] = 0,1. M-Aderverhältnis (gerade Strecke entlang M zwischen dm-cu und r-m [S1 M] : Strecke apikal von dm-cu [S2 M]) = 0,3. Costa erreicht Spitze der Media. R_{4+5} gerade. Kein Aderstumpf. Haltere weiß, apikal braun. Beine

schwarz, nur die drei basalen Tarsenglieder gelblichweiß bis gelblichbraun. Beine mit schwarzen Börstchen besetzt. Vorderfemur posteroventral mit 13 regelmäßig angeordneten Borsten und posterodorsal mit 12 zur Basis hin länger werdenden Borsten. Mittelfemur anterior mit 6 ventralen Borsten in der apikalen Hälfte. Metatarsus II-Tibia II-Verhältnis (Länge Metatarsus 2 : Länge Tibia 2) = 0,5.

Abdomen schwarz. Tergite 1-3 und Vorderrand von Tergit 4 schwach bestäubt. Tergit 5 und Hinterrand von Tergit 4 glänzend. Tergite 2 und 3 nur am Hinterrand mit einzelnen schwarzen Haaren, Tergite 4 und 5 mit einzelnen schwarzen Haaren. Tergite III-IV-Verhältnis (Länge Tergit 3 mittig : Länge Tergite 4 mittig) = 0,6. Tergit IV-V-Verhältnis (Länge Tergite 4 mittig : Länge Tergite 5 mittig) = 1,8. Sternite 4-5 entsprechend Abbildung 17. Terminalia entsprechend Abbildungen 12-16: Epandrium nur noch als schmaler Ring zu erkennen, mit auffälligem dornförmigem Anhang. Epandrium ohne Borsten. Cercus mit Epandrium verschmolzen, Cercus mächtig, etwas länger als Tergit 4. Subepandrialplatte nicht nachweisbar. Hypandrium u-förmig, ohne Zähne oder Anhänge. Postgonit mit Hypandrium verschmolzen. Postgonit entsprechend Abbildungen 14-15: langgestreckt, leicht abwärts gebogen; kräftige Borste setzt auf einer spitzen Ausstülpung auf; paariger Anhang an Spitze des Postgonits kurz; Postgonit ohne Kiel; Basis des Postgonites stark erweitert. Phallusapodem kurz, mit einer kräftigen ventralen Muskelansatzstelle, die apikal verbreitert ist (Abbildung 16). Phallus entsprechend Abbildung 16: lang und leicht nach unten gebogen, überragt die umgebenden Postgonite nur wenig; lateral schwach sklerotisiert; an der Basis dorsal mit einem Paar langer, nach vorne gebogener Apendices.

Weibchen dieser Art sind bislang nicht bekannt geworden.

Diagnose: *Philygria macrocercus* gehört aufgrund der charakteristischen Flügeladerung und Flügelzeichnung mit Flügelflecken höchstens um die Queradern r-m und dm-cu und einem Costaindex $I < 2$ (Abbildung 18) zu einer Artengruppe mit *P. femorata* (STENHAMMAR, 1844), *P. morans* (CRESSON, 1930), *P. dispar* STUKE, 2021 und *P. doczkali* STUKE, 2021. Diese Arten sind nur genital sicher zu unterscheiden (STUKE 2021a). Von allen diesen Arten und von allen weiteren *Philygria* Arten unterscheidet sich *Philygria macrocercus* sofort durch die charakteristischen großen Cerci (Abbildung 12). Die Weibchen sind derzeit nicht bestimmbar.

Taxonomische Hinweise: Während die Abgrenzung von *P. macrocercus* gegen andere *Philygria* Arten unproblematisch ist, muss *Philygria strandi* (DUDA, 1942) ausgeschlossen werden. Diese Art ist von „St. Wendel (Saargebiet)“ in unmittelbarer Nähe zum Locus typicus gesammelt worden und könnte ebenfalls zur Verwandtschaft von *P. femorata* gehören (HOLLMANN-SCHIRRMACHER 1998). Der Holotypus von *P. strandi* gilt als verschollen und die Art wird daher als nomina dubia geführt (MATHIS & ZATWARNICKI 1995, HOLLMANN-SCHIRRMACHER 1998). Auch bei dieser Art zeigt die Abdomenspitze mit den Terminalia Besonderheiten: „After des ♂ schwarz, halbkugelig vorgewölbt, schwarz, grau bereift und wie das 5. Segment dorsal sparsam, ventral dichter behaart, außerdem ventral basal mit je einem hörnchenförmigen, nach innen und hinten gekrümmten, schwarzen Anhang versehen, der einem nach unten vorspringenden, kurz pyramidalen Zapfen auf der Vorderseite aufsitzt“. Diese verwirrende Beschreibung der Abdomenspitze lässt sich aber mit dem vorliegenden Typus von *P. macrocercus* nicht in Einklang bringen. Außerdem passen drei weitere in der Gattung *Philygria* diagnostisch wichtige Merkmale aus der Originalbeschreibung von *P. strandi* nicht zu *P. macrocercus*: (i) „das Fehlen einer sei es hellen, sei es bräunlichen Flügelfleckung“, (ii) „Hüften und p schwarz, doch t rotgelb“ und (iii) „das Mesonotum ganz ungestreift“. Bei *P. macrocercus* sind (i) die Flügel deutlich gezeichnet (Abbildung 18), (ii) die Tibien schwarz und (iii) das Scutum teilweise durch unterschiedliche gefärbte Bestäubung gestreift. Bei anderen Arten aus der Verwandtschaft von *P. femorata* variiert die Tibienfärbung kaum, so dass dieser Unterschied eine Konspezifität ausschließt.

Etymologie: Der Artname „*macrocercus*“ beschreibt die charakteristisch großen Cerci der neuen Art.

Verbreitung: Bislang ist nur der Holotypus bekannt, der im Saarland etwa 15 km nordwestlich von Saarbrücken (49,351°N 7,117°E) gesammelt wurde.

Ökologie: Bei dem Fundort „Wassergarten Grube Reden“ handelt es sich um fünf kaskadenartig angelegte Wasserbecken mit einer reichhaltigen Wasservegetation. Die Becken werden mit Regenwasser und 32°C warmem Grubenwasser befüllt. Um diese Becken befinden sich Wege mit artenreichen Ruderalfluren. Die genauen Fundumstände innerhalb dieses Areal sind nicht mehr zu rekonstruieren. Allerdings scheint *P. macrocercus* dort nicht häufig zu sein, da der Autor dort ebenfalls intensiv gesammelt hat und die Art nicht nachweisen konnte.

***Philygria stictica* (MEIGEN, 1830)**

1♂, 17.vi.2022, Friedrichsthal, Saufangweiher [49,325°N 7,077°E].

***Philygria vittipennis* (ZETTERSTEDT, 1838)**

1♀, 19.vi.2022, Prims, Bardenbach [49,510°N 6,877°E].

***Polytrichophora duplosetosa* (BECKER, 1896)**

5♂♂, 18.vi.2022, Merchtal s Illingen [49,360°N 7,047°E].

***Polytrichophora indistincta* STUKE, 2016**

1♂, 18.vi.2022, Absinkweiher Hahnwiese sw Illtal [49,356°N 7,027°E]; 1♂, 17.vi.2022, Friedrichsthal, Villinger Park [49,331°N 7,098°E]; 1♂, 18.vi.2022, Heiligenwald, Itzenplitzer Weiher [49,349°N 7,092°E]; 9♂♂, 18.vi.2022, Merchtal s Illingen [49,360°N 7,047°E]; 3♂♂, 19.vi.2022, Prims nö Schattertriesch [49,471°N 6,860°E]; 1♂, 19.vi.2022, Prims, Bardenbach [49,510°N 6,877°E]; 1♂, 19.vi.2022, Theel w Knorscheid [49,400°N 6,868°E].

***Psilopa compta* (MEIGEN, 1830)**

1♀, 18.vi.2022, Merchtal s Illingen [49,360°N 7,047°E]; 1♂ 1♀, 19.vi.2022, Teiche n Bilsdorf [49,386°N 6,817°E].

***Psilopa nitidula* (FALLÉN, 1813)**

3♂♂ 1♀, 19.vi.2022, Badstube-Mimbach [49,218°N 7,298°E], gestreift, leg. M. von Tschirnhaus; 1♂ 1♀, 17.vi.2022, Bergehalde Landsweiler-Reden [49,334°N 7,115°E]; 1♂, 17.vi.2022, Friedrichsthal, Villinger Park [49,331°N 7,098°E]; 1♂, 19.vi.2022, Noswendeler See [49,520°N 6,864°E]; 1♀, 19.vi.2022, Teiche n Bilsdorf [49,386°N 6,817°E]; 1♀, 19.vi.2022, Teiche ö Nalbach [49,379°N 6,801°E]; 1♀, 18.vi.2022, Wassergarten Grube Reden [49,351°N 7,117°E], an Wasservegetation gestreift, leg. M. von Tschirnhaus; 38♂♂ 19♀♀, 18.vi.2022, Wassergarten Grube Reden [49,351°N 7,117°E], auf trockenem Boden gestreift, leg. M. von Tschirnhaus; 1♂, 18.vi.2022, Wassergarten Grube Reden [49,351°N 7,117°E].

***Psilopa obscuripes* LOEW, 1860**

1♀, 18.vi.2022, Kohlbachtalweiher s Göttelborn [49,334°N 7,044°E]; 3♂♂ 1♀, 18.vi.2022, Wassergarten Grube Reden [49,351°N 7,117°E].

***Psilopa polita* (MACQUART, 1835)**

2♂♂, 18.vi.2022, Absinkweiher Hahnwiese sw Illtal [49,356°N 7,027°E]; 8♂♂ 5♀♀, 19.vi.2022, Badstube-Mimbach [49,218°N 7,298°E], gestreift, leg. M. von Tschirnhaus; 1♂, 17.vi.2022, Bergehalde Landsweiler-Reden [49,334°N 7,115°E]; 3♂♂ 1♀, 17.vi.2022, Friedrichsthal, Saufangweiher [49,325°N 7,077°E]; 4♂♂, 17.vi.2022, Friedrichsthal, Villinger Park [49,331°N 7,098°E]; 1♂, 18.vi.2022, Ill ö Illingen [49,371°N 7,069°E]; 1♂, 18.vi.2022, Merchtal s Illingen [49,360°N 7,047°E]; 2♂♂, 19.vi.2022, Noswendeler See [49,520°N 6,864°E]; 2♂♂, 19.vi.2022, Teiche n Bilsdorf [49,386°N 6,817°E]; 1♂, 19.vi.2022, Teiche ö Nalbach [49,379°N 6,801°E]; 121♂♂ 14♀♀, 18.vi.2022, Wassergarten Grube Reden [49,351°N 7,117°E], auf trockenem Boden gestreift, leg. M. von Tschirnhaus; 3♂♂, 18.vi.2022, Wassergarten Grube Reden [49,351°N 7,117°E].

***Scatella lacustris* (MEIGEN, 1830)**

1♂, 17.vi.2022, Friedrichsthal, Saufangweiher [49,325°N 7,077°E]; 1♀, 18.vi.2022, Heiligenwald, Itzenplitzer Weiher [49,349°N 7,092°E]; 1♀, 18.vi.2022, Kohlbachtalweiher s Göttelborn [49,334°N 7,044°E]; 1♀, 18.vi.2022, Merchtal s Illingen [49,360°N 7,047°E]; 1♂, 19.vi.2022, Prims nō Schattertriesch [49,471°N 6,860°E]; 1♂, 19.vi.2022, Theel w Knorscheid [49,400°N 6,868°E]; 1♀, 18.vi.2022, Wassergarten Grube Reden [49,351°N 7,117°E], auf trockenem Boden gestreift, leg. M. von Tschirnhaus; 1♂, 18.vi.2022, Wassergarten Grube Reden [49,351°N 7,117°E].

***Scatella paludum* (MEIGEN, 1830)**

1♂, 18.vi.2022, Absinkweiher Hahnwiese sw Illtal [49,356°N 7,027°E]; 1♀, 17.vi.2022, Friedrichsthal, Saufangweiher [49,325°N 7,077°E]; 1♀, 17.vi.2022, Friedrichsthal, Villinger Park [49,331°N 7,098°E]; 1♂, 18.vi.2022, Heiligenwald, Itzenplitzer Weiher [49,349°N 7,092°E]; 1♂ 1♀, 18.vi.2022, Kohlbachtalweiher s Göttelborn [49,334°N 7,044°E]; 1♀, 19.vi.2022, Prims nō Schattertriesch [49,471°N 6,860°E]; 1♀, 19.vi.2022, Prims, Bardenbach [49,510°N 6,877°E]; 1♂, 19.vi.2022, Teiche n Bilsdorf [49,386°N 6,817°E]; 1♂, 18.vi.2022, Wassergarten Grube Reden [49,351°N 7,117°E].

***Scatella stagnalis* (FALLÉN, 1813)**

1♂ 1♀, 17.vi.2022, Friedrichsthal, Villinger Park [49,331°N 7,098°E]; 1♀, 19.vi.2022, Prims, Bardenbach [49,510°N 6,877°E].

***Scatophila caviceps* (STENHAMMAR, 1844)**

1♀, 19.vi.2022, Theel w Knorscheid [49,400°N 6,868°E].

Danksagung

Ruud van der Weele (Zoelmund) und Michael von Tschirnhaus (Bielefeld) stellten ihr gesammeltes Material zur Verfügung. Michael von Tschirnhaus diskutierte außerdem taxonomische Fragen. Thomas Schneider (Schiffweiler) erstellte die Karte mit den Exkursionsorten. Dieter Weber (Hassloch) organisierte maßgeblich die Tagung des Arbeitskreises Diptera, anlässlich der das Material gesammelt wurde. Andreas Werno (Schiffweiler) gab Hinweise zu lohnenden Exkursionszielen im Saarland.

Literatur

- BECKER, T. (1905): Ephyrididae. — Pp 185-215. - In: BECKER, T., BEZZI, M., KERTÉSZ, K. & STEIN, P. (eds.): Katalog der paläarktischen Dipteren Vol. 4: 328 p; Budapest: G. Wesselényi in Hódmezővásárhely.
- BECKER, T. (1926): 56a. Ephyrididae und 56b. Canaceidae. — Pp 1-115. - In: LINDNER, E. (eds.): Die Fliegen der palaarktischen Region VI.1: nicht abgeschlossen; Stuttgart: Schweizerbartsche Verlagsbuchhandlung.
- BESCHOVSKI, V. L. (2009): Insecta: Diptera: Ephyrididae, Tethinidae, Canacidae. — Fauna Bulgarica 28: 1-421.
- BESCHOVSKI, V. L. & ZATWARNICKI, T. (2004): Faunistic review of the subfamily Ephydrinae (Insecta: Diptera: Ephyrididae) in Bulgaria with some data from other European countries. — Acta zoologica Bulgarica 56: 31-55.
- CLAUSEN, P. J. & COOK, E. F. (1971): A revision of the Nearctic Species of the Tribe Parydrini (Diptera: Ephyrididae). — Memoirs of the American Entomological Society 27: 1-150.
- COLLIN, J. E. (1966): A contribution to the knowledge of the male genitalia of species of *Hydrellia* (Diptera, Ephyrididae). — Bollettino del Museo Civico di Storia Naturale di Venezia 16: 7-18 + 26 plates.
- CRESSON, E. T. (1943): The species of the tribe Ilytheini (Diptera: Ephyrididae: Notiphilinae). — Transactions of the American Entomological Society 69: 1-16 + 2 plates.
- CUMMING, J. M. & WOOD, D. M. (2017): Adult morphology and terminology. — Pp 89-133. — In: KIRK-SPRIGGS, A.H. & SINCLAIR, B. J. (eds.): Manual of Afrotropical Diptera. Volume 1. Introductory chapters and keys to Diptera families. — Suricata 4: xiii + 1-425; Pretoria.
- DE MEJERE, J. C. H. (1940): *Hydromyza livens* FALL. en *Notiphila brunnipes* ROB. DESV., twee Dipteren, wier levenswijze verband houdt met *Nymphaea alba* L. — Entomologische Berichten 10: 220-222.
- DRAKE, C. M. (2001): The British species of *Notiphila* FALLÉN (Diptera, Ephyrididae), with the description of a new species. — Dipterists Digest, 2nd. Series 8: 91-125.
- DUDA, O. (1942): Neue und ungenügend bekannte Zweiflügler der paläarktischen Region aus meiner Sammlung. 2. Fortsetzung. — Deutsche Entomologische Zeitschrift 10: 1-39.
- EDMISTON, J. F. & MATHIS, W. N. (2005): A review of two Nearctic species of the shore-fly genus *Philygria* STENHAMMAR, *P. debilis* LOEW and *P. nigrescens* (CRESSON) (Diptera: Ephyrididae). — Proceedings of the Entomological Society of Washington 107: 7-20.
- GAVRUSHIN, D. I. & KRIVOSHEINA, M. G. (2010): The first record of the shore-fly *Nostima semialata* (COLLIN, 1913) for the fauna of Russia. — Russian Entomological Journal 19: 143-144.
- HALIDAY, A. H. (1839): Remarks on the generic distribution of the British Hydromyzidae (Diptera). — Annals and Magazine of Natural History 3: 217-224, 401-411.
- HOLLMANN-SCHIRRMACHER, V. (1998): Phylogeny of the subfamily Ilytheinae (Diptera, Ephyrididae) with special references to the genus *Philygria*. — Studia Dipterologica Supplement 5: 1-144.
- IRWIN, A. G. (1985): British *Ochthera* (Diptera, Ephyrididae). — Entomologist's Monthly Magazine 121: 151-154.

- KRIVOSHEINA, M. G. (1989): [A review of the ephydrid flies of the genus *Parydra* STEPH. (Diptera, Ephydriidae) of the Fauna of the USSR], in Russian. — *Entomologičeskoe Obozrenie* **68**: 209-220.
- KRIVOSHEINA, M. G. (1992): [A review of Palearctic Dipterans of the Genus *Pelina* (Diptera, Ephydriidae)], in Russian. — *Vestnik Zoologii* 1992: 38-44.
- KRIVOSHEINA, M. G. (1998): A revision of the shore-fly genus *Notiphila* FALLÉN of Palearctic (Diptera, Ephydriidae). — *International Journal of Dipterological Research* **8**: 31-63.
- MATHIS, W. N. (1975): A systematic study of *Coenia* and *Paracoenia* (Diptera: Ephydriidae). — *Great Basin Naturalist* **35**: 65-85.
- MATHIS, W. N. & ZATWARNICKI, T. (1990): Taxonomic Notes On Ephydriidae (Diptera). — *Proceedings of the Biological Society of Washington* **103**: 891-906.
- MATHIS, W. N. & ZATWARNICKI, T. (1995): World Catalog of Shore Flies (Diptera: Ephydriidae). — *Memoirs on Entomology, International* **4**: 1-423.
- MATHIS, W. N. & ZATWARNICKI, T. (2004): A review of the species of *Hyadina* HALIDAY occurring in Israel (Diptera: Ephydriidae). — *Israel Journal of Entomology* **34**: 35-57.
- OLAFSSON, E. (1991): Taxonomic revision of western Palearctic species of the genera *Scatella* R.-D. and *Lamproscatella* HENDEL, and studies on their phylogenetic positions within the family Ephydriinae (Diptera, Ephydriidae). — *Entomologica Scandinavica. Supplement* **37**: 1-100.
- ROBINEAU-DESVOIDY, J. B. (1830): *Essai sur les Myodaires*. — *Mémoires présentés par divers savants à l'académie royale des sciences de l' institut de france et imprimés par son ordre [sciences mathematiques et physiques]* **2**: 1-813.
- STUKE, J.-H. (2010a): Die Uferfliegen Niedersachsens und Bremens (Diptera: Ephydriidae) – Teil I. — *Entomologische Zeitschrift* **120**: 171-189.
- STUKE, J.-H. (2010b): Die Uferfliegen Niedersachsens und Bremens (Diptera: Ephydriidae) – Teil II. — *Entomologische Zeitschrift* **120**: 195-222.
- STUKE, J.-H. (2011): Eine kritische Liste der aus Deutschland nachgewiesenen Ephydriidae mit der Beschreibung einer neuen Art (Diptera). — *Entomologische Zeitschrift* **121**: 115-126.
- STUKE, J.-H. (2013): Funde von Ephydriidae (Diptera) aus der Oberrheinebene in Baden-Württemberg (Deutschland). — *Studia Dipterologica (Müncheberg)* **20**: 59-67.
- STUKE, J.-H. (2020): A new Ephydriidae (Diptera) from the East Frisian Island of Borkum (Wadden Sea, Germany). — *Tijdschrift voor Entomologie* **162**: 47-50.
- STUKE, J.-H. (2021a): New species of *Philygria* STENHAMMAR (Diptera: Ephydriidae) from Germany. — *Zootaxa* **4942**: 439-446.
- STUKE, J.-H. (2021b): New European species of *Athyroglossa* LOEW, 1860 (Diptera: Ephydriidae) from Finland and the Republic of Georgia. — *Bonn Zoological Bulletin* **70**: 85-95.
- STUKE, J.-H. (2021c): Another overlooked European species of *Polytrichophora* CRESSON (Diptera: Ephydriidae). — *Entomologist's Monthly Magazine* **157**: 185-192.
- STUKE, J.-H. (2022a): A second European *Axysta* species (Diptera: Ephydriidae). — *Acta Zoologica Academiae Scientiarum Hungaricae* **68**: 159-168.
- STUKE, J.-H. (2022b): *Coenia caucasica* KRIVOSHEINA, 2001, recorded in Germany and Finland (Diptera: Ephydriidae). — *Entomologist's Monthly Magazine* **158**: 207-212.
- STUKE, J.-H. (2022c): Faunistic and taxonomic remarks on European *Allotrichoma* BECKER, 1896 (Diptera: Ephydriidae) with the description of a new species from Georgia. — *Russian Entomological Journal* **31**: 297-311.
- VELDE, G. VAN DER & BROCK, T. C. M. (1980): The life history and habits of *Notiphila brunnipes* ROBINEAU-DESVOIDY (Diptera, Ephydriidae), an autecological study on a fly associated with nymphaeid vegetations. — *Tijdschrift voor Entomologie* **123**: 105-127.
- ZATWARNICKI, T. (1987): New synonyms and records of Palearctic *Scatophila* (Diptera, Ephydriidae). — *Polskie Pismo Entomologiczne* **57**: 277-298.

- ZATWARNICKI, T. (2018): Solving the puzzle of taxonomic position of the petroleum fly by resurrection of *Diasemocera* BEZZI from *Psilopa* FALLÉN (Diptera: Ephydriidae) with proposed specific and generic synonymies. — *Annales Zoologici* **68**: 527-552.
- ZATWARNICKI, T. (2022): Notes on Selected Genera of Shore Flies (Diptera: Ephydriidae), with removals to Drosophilidae, Heleomyzidae and Milichiidae. — *Annales Zoologici* **72**: 389-432.
- ZATWARNICKI, T. & IRWIN, A. G. (2018): Taxonomic notes on the genera *Scatella* and *Scatophila* (Diptera: Ephydriidae) with a remark on *Trixoscelis chilensis* (Trixoscelididae). — *Zootaxa* **4377**: 91-109.
- ZATWARNICKI, T. & MATHIS, W. N. (1994): Phylogeny and Classification of the Genus *Scatophila* BECKER (Diptera: Ephydriidae). — *Annales de la Société Entomologique de France* **29**: 351-370.
- ZATWARNICKI, T. & MATHIS, W. N. (2001): A generic classification of the tribe Discocerinni (Diptera: Ephydriidae). — *Annales Zoologici* **51**: 5-51.
- ZATWARNICKI, T. & MATHIS, W. N. (2007): A revision of the Palearctic species of the shore fly genus *Discomyza* MEIGEN (Diptera: Ephydriidae). — *Insect Systematics and Evolution* **38**: 241-266.

Anschrift des Autors:

Jens-Hermann Stuke
Roter Weg 22, D-26789 Leer
E-Mail: jstuke@zfn.uni-bremen.de